

УДК 519.245; 537.61

*А.А. Бирюков, Я.В. Дегтярева*<sup>1</sup>

## ОПРЕДЕЛЕНИЕ ТЕМПЕРАТУРЫ ФАЗОВОГО ПЕРЕХОДА В МОДЕЛИ ИЗИНГА С ДАЛЬНИМ ВЗАИМОДЕЙСТВИЕМ МЕТОДОМ МОНТЕ-КАРЛО

Рассматриваются двумерные и трехмерные модели Изинга, в которых каждый спин взаимодействует как с соседними спинами, так и с дальними. Величина интенсивности взаимодействия между спинами полагается убывающей с расстоянием по степенному закону  $r^{-d-\sigma}$ , где  $d$  – размерность решетки,  $\sigma$  – феноменологический параметр. Исследования проведены методом Монте-Карло с алгоритмом Метрополиса с применением техники параллельных вычислений. На основе численного моделирования найдена зависимость температуры фазового перехода от параметра  $\sigma$ . Показано, что при возрастании  $\sigma$  температура фазового перехода убывает.

**Ключевые слова:** метод Монте-Карло, модель Изинга, фазовый переход, дальнее взаимодействие, радиус взаимодействия, критическая температура.

### Введение

Задача описания магнитных свойств вещества и фазовых переходов между парамагнитным и ферромагнитным состояниями имеет давнюю историю и продолжает активно развиваться в настоящее время. Э. Изинг в 1924 году предложил модель магнетика как системы попарно взаимодействующих спинов, описал ее магнитные свойства для одномерной цепочки и доказал отсутствие фазового перехода [1]. В 1944 году Л. Онсагером [2] впервые была рассмотрена двумерная модель Изинга, для которой он доказал существование фазового перехода и вычислил его температуру. В 1952 году, Чж. Янг определил спонтанную намагниченность в двумерной модели Изинга [3]. Однако попытки исследовать аналитическими методами трехмерную модель Изинга, а также двумерную модель с учетом действия внешнего магнитного поля оказались безуспешны, что привело к разработке и развитию численных методов ее исследования.

Использование методов компьютерного моделирования позволило изучать критическое поведение систем практически любой сложности и при различных внешних условиях [4]. Так, были проведены исследования двумерных и трехмерных

<sup>1</sup>© Бирюков А.А., Дегтярева Я.В., 2015

*Бирюков Александр Александрович* (birjukov@samsu.ru), кафедра общей и теоретической физики, Самарский государственный университет, 443011, Российская Федерация, г. Самара, ул. Акад. Павлова, 1.

*Дегтярева Яна Владимировна* (degt-yana@yandex.ru), кафедра общей и теоретической физики, Самарский государственный университет, 443011, Российская Федерация, г. Самара, ул. Акад. Павлова, 1.

моделей Изинга с различными конфигурациями решеток (треугольных, простых кубических, гексагональных, пентагональных) во внешнем магнитном поле [5], при наличии дефектов [6; 7].

В работах [11; 12] были построены численными методами фазовые диаграммы равновесия между парамагнитным и ферромагнитным состояниями, в модели Изинга на простой кубической решетке с учетом взаимодействия как первых, так и вторых ближайших соседей. В работе [10] рассмотрены обменные взаимодействия в различных конфигурациях двумерных решеток, включая вторые ближайшие спины, и доказывается, что добавление дальних взаимодействий увеличивает температуру фазового перехода.

Для учета дальних взаимодействий в модели Изинга М. Фишер [13] предложил интенсивность взаимодействия между спинами рассматривать убывающей с расстоянием по степенному закону :

$$J \propto r^{-d-\sigma},$$

где  $d$  – размерность решетки,  $\sigma$  – параметр взаимодействия,  $r$  – расстояние между спинами.

Параметр взаимодействия  $\sigma$  существенно влияет на значения критических показателей фазового перехода в модели Изинга. Например, было показано [8; 9], что с увеличением параметра  $\sigma$  критические индексы двумерной модели приближаются к значениям, предсказанным ренорм-групповым анализом для двумерной модели Изинга с взаимодействием между ближайшими спинами.

В данной работе на основе метода Монте-Карло определены температуры фазового перехода между парамагнитным и ферромагнитным состояниями в двумерной и трехмерной моделях Изинга с дальними взаимодействиями для различных значений параметра  $\sigma$ . Предложен вид аналитической функции, аппроксимирующей зависимость между критической температурой и параметром  $\sigma$ .

## 1. Модели Изинга с дальним взаимодействием

Рассмотрим модели Изинга, которые описываются простыми квадратными или кубическими решетками (все ребра которых имеют одинаковую длину равную единице) с периодическими граничными условиями. В каждом узле решетки находятся спины, принимающие одно из двух возможных значений:  $+1$  или  $-1$ . Для описания положения каждого спина введем прямоугольную систему координат, оси которой  $x, y, z$  направлены параллельно сторонам решетки.

Для двумерной модели положение спинов определяется двумя целыми числами  $(i, j)$ , принимающими значения 1, 2, 3 и т. д. Гамильтониан спина с координатами  $(i, j)$  определяется выражением:

$$H(S_{ij}) = \sum_{l=i-N}^{i+N} \sum_{m=j-N}^{j+N} \frac{J_0}{r_{lm}^{2+\sigma}} S_{ij} S_{lm}, \quad (1.1)$$

где  $r_{lm} = \sqrt{(i-l)^2 + (j-m)^2}$  – расстояние между спинами  $S_{ij}$  и  $S_{lm}$ ,  $J_0$  – константа взаимодействия между спинами,  $S_{ij} = \pm 1$  для всех  $i, j$ . Суммирование в выражении (1.1) проводится по всем точкам  $(l, m)$ , находящимся в круге радиуса  $R$  с центром в спине с координатами  $(i, j)$ , где

$$\sqrt{(l-i)^2 + (m-j)^2} \leq R = N.$$

При этом исключается самодействие спина, то есть не могут одновременно выполняться равенства  $l = i, m = j$ . Интенсивность взаимодействия между спинами  $S_{ij}$  и  $S_{lm}$   $J_{lm}$  убывает с расстоянием  $r_{lm}$  по степенному закону:

$$J_{lm} = \frac{J_0}{r_{lm}^{2+\sigma}}. \quad (1.2)$$

Аналогично положение спина в трехмерной модели определяется тремя целыми числами  $i, j, k$ . Гамильтониан спина  $S_{ijk}$  с координатами  $(i, j, k)$ ,  $i, j, k = 1, 2, 3, \dots$  принимает вид

$$H(S_{ijk}) = \sum_{l=i-N}^{i+N} \sum_{m=j-N}^{j+N} \sum_{n=k-N}^{k+N} \frac{J_0}{r_{lmn}^{3+\sigma}} S_{ijk} S_{lmn}, \quad (1.3)$$

где  $r_{lmn} = \sqrt{(i-l)^2 + (j-m)^2 + (k-n)^2}$  – расстояние между спинами  $S_{ijk}$  и  $S_{lmn}$ . Аналогично случаю для двумерной модели суммирование осуществляется по всем точкам  $(l, m, n)$ , находящимся в шаре радиуса  $R$ , где

$$\sqrt{(l-i)^2 + (m-j)^2 + (n-k)^2} \leq R = N,$$

причем не могут одновременно выполняться равенства  $l = i, m = j, n = k$ . Интенсивность взаимодействия между спинами  $S_{ijk}$  и  $S_{lmn}$   $J_{lmn}$ , убывает с расстоянием  $r_{lmn}$  по закону:

$$J_{lmn} = \frac{J_0}{r_{lmn}^{3+\sigma}}. \quad (1.4)$$

Суммирование в выражениях (1.1), (1.3) проводится по всем индексам  $l, m, n$  с учетом периодических граничных условий.

Среднее значение магнитного момента, приходящегося на один спин, соответственно для двумерной и трехмерной решеток определяется по формулам:

$$\langle M \rangle = \frac{1}{L^2} \sum_{i,j=1}^L S_{ij} Z^{-1} \exp\left(-\frac{1}{kT} H(S_{ij})\right), \quad (1.5)$$

$$\langle M \rangle = \frac{1}{L^3} \sum_{i,j,k=1}^L S_{ijk} Z^{-1} \exp\left(-\frac{1}{kT} H(S_{ijk})\right), \quad (1.6)$$

где

$$Z = \exp\left(-\frac{1}{kT} H(+1)\right) + \exp\left(-\frac{1}{kT} H(-1)\right) \quad (1.7)$$

– нормировочная константа,  $k$  – постоянная Больцмана,  $T$  – абсолютная температура системы,  $L$  – линейный размер решетки, то есть число интервалов между спинами вдоль каждой оси  $x, y, z$ .

В предложенных моделях параметры  $J_0, L, N, \sigma$  являются феноменологическими, значения которых задаются. Введенный радиус  $R$  мы называем радиусом области взаимодействия спинов.

## 2. Исследование моделей Изинга численными методами

Вычисление  $\langle M \rangle$  и его зависимости от температуры  $T$  в рамках предложенных моделей аналитическими методами в соответствии с формулами (1.5) – (1.7)

представляет значительные трудности. Для решения данной задачи предлагается использовать метод численного моделирования Монте-Карло.

Для численного исследования моделей Изинга по формулам (1.1) – (1.7) необходимо в этих выражениях перейти к безразмерным величинам. С этой целью расстояние между спинами мы измеряем в единицах расстояния между ближайшими спинами вдоль оси координат, энергию взаимодействия между спинами  $J$  – в единицах энергии взаимодействия между ближайшими спинами  $J_0$ , величину  $kT$  приравниваем некому безразмерному параметру  $T$ , который будем считать приведенной температурой. Параметр  $N$ , определяющий радиус взаимодействия между спинами, выберем равным 10.

Для расчета среднего значения магнитного момента по формулам (1.5) – (1.7) методом Монте-Карло с малой погрешностью необходимо рассматривать решетки с большим числом узлов и реализовывать большое число статистических испытаний. Однако в такой модели метод становится ресурсоемким, поскольку время счета экспоненциально возрастает с увеличением числа узлов и числа испытаний. Поэтому для исследования данной модели был разработан алгоритм Монте-Карло с применением техники параллельных вычислений. Решетка разбивалась на подобласти, и каждая подобласть обрабатывалась отдельным процессором. В основе такого подхода лежит свойство аддитивности магнитных моментов спинов решетки.

На рис. 2.1 – 2.2 представлены графики зависимости среднего магнитного момента  $\langle M(T) \rangle$  от температуры для различных значений параметра  $\sigma$  для двумерной и трехмерной моделей Изинга. График  $\langle M(T) \rangle$  испытывает скачок при температуре фазового перехода  $T_c$ . Из анализа графиков видно, что значение  $T_c$  уменьшается при увеличении величины параметра  $\sigma$ .

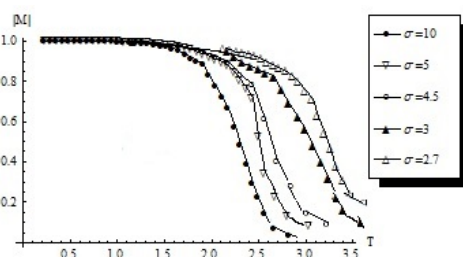


Рис. 2.1. Зависимость  $\langle M \rangle$  от  $T$  в двумерной модели для различных  $\sigma$

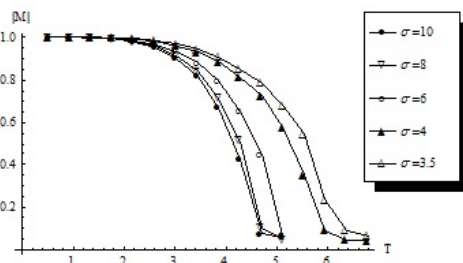


Рис. 2.2. Зависимость  $\langle M \rangle$  от  $T$  в трехмерной модели для различных  $\sigma$

Заметим, что точность определения температуры фазового перехода  $T_c$  по графикам на рис. 2.1 – 2.2 невысока. На точность определения температуры  $T_c$  существенное влияние оказывает эффект конечных размеров системы [14; 15].

Для более точного определения температуры фазового перехода нами использовался метод кумулянтов четвертого порядка, предложенный К. Биндером и оказавшийся

весьма эффективным [16–19]. Его суть заключается в построении температурных зависимостей кумулянтов  $U_N(T)$  четвертого порядка

$$U_L(T) = 1 - \frac{\langle M^4(T) \rangle}{3 \langle M^2(T) \rangle^2} \quad (2.1)$$

для различных линейных размеров решетки  $L$  и нахождении  $T_c$  из общей точки пересечения графиков этих зависимостей.

На основе численного моделирования были получены графики температурной зависимости кумулянтов Биндера по формуле (2.1). Расчеты проводились для двумерных решеток размера  $100 \times 100$  и  $60 \times 60$  и трехмерных решеток размера  $90 \times 90 \times 90$  и  $72 \times 72 \times 72$ . Значения параметра  $\sigma$  брались от 0 до 10. Графики зависимости  $U_L(T)$  при значении  $\sigma = 0$  для двумерных и трехмерных решеток представлены на рис. 2.3.

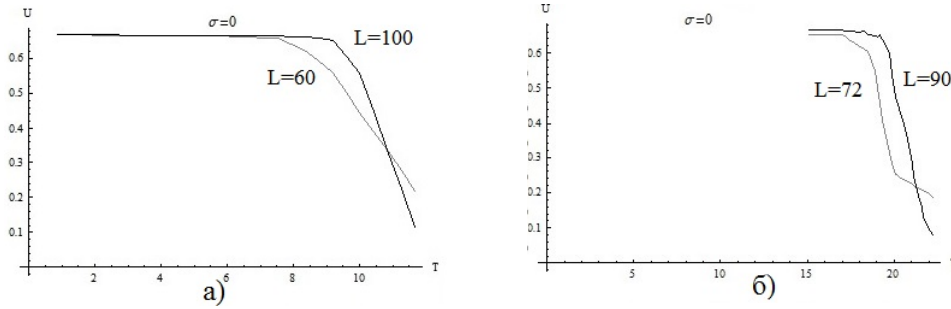


Рис. 2.3. Зависимость кумулянтов  $U_N(T)$  от температуры для двумерных (а) и трехмерных (б) решеток

Значения критических температур при различных значениях параметра  $\sigma$  для двумерной и трехмерной моделей представлены на рис. 2.4–2.5 точками. Из графиков видно, что критические температуры в двумерном и трехмерном случаях убывают с увеличением значений параметра  $\sigma$  по экспоненциальному закону.

На основании результатов численного моделирования по методу наименьших квадратов были получены зависимости  $T_c(\sigma)$  от параметра  $\sigma$  в аналитической форме. Эти функции имеют вид:

$$T_c(\sigma) = 2.233 + 8.672 \exp(-0.73\sigma) \quad (2.2)$$

для двумерной модели и

$$T_c(\sigma) = 4.511 + 15.863 \exp(-0.7\sigma) \quad (2.3)$$

для трехмерной модели. Графики этих функций на рис. 2.4–2.5 изображены сплошным графиком.

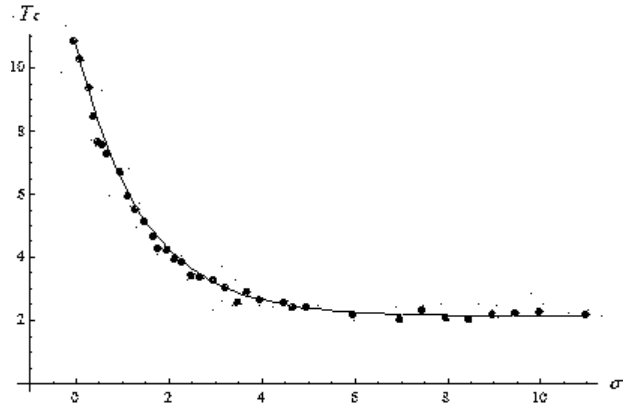
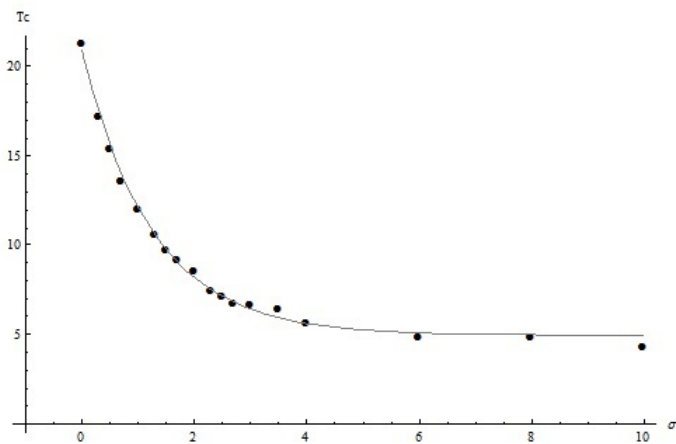
Предложенные формулы (2.2), (2.3) можно записать в виде одного уравнения

$$T_c(\sigma) = A + B \exp(-c\sigma), \quad (2.4)$$

где  $A = 2,233$ ,  $B = 8,672$ ,  $c = 0,73$  для двумерной модели и  $A = 4,511$ ,  $B = 15,863$ ,  $c = 0,7$  для трехмерной модели.

Заметим, что в предложенной модели относительное изменение интенсивности взаимодействия  $J(R)$  между спинами, расположенными на расстоянии  $R$ , и спинами на расстоянии  $R = 1$  представляется выражением

$$\delta = \frac{J(R)}{J_0} = \frac{1}{R^{(d+\sigma)}}, \quad (2.5)$$

Рис. 2.4. Зависимость  $T_c(\sigma)$  для двумерной модели ИзингаРис. 2.5. Зависимость  $T_c(\sigma)$  для трехмерной модели Изинга

то есть при малых  $\sigma$  константа взаимодействия  $J(R)$  между спинами для определенного значения  $R$  имеет большее значение, чем при больших  $\sigma$ .

На основании (2.5) построим зависимость  $\sigma$  от  $R$  и  $\delta$  как функцию  $\sigma(R, \delta)$

$$\sigma = - \left( d + \frac{\ln \delta}{\ln R} \right). \quad (2.6)$$

Формула (2.6) определяет значение  $\sigma$ , при котором  $J(R) = \delta J_0$  при выбранных значениях  $R$  и  $\delta$ .

Мы полагаем, что при  $\delta = 10^{-d}$ , где  $d$  – размерность решетки, интенсивность взаимодействия между спинами можно учитывать до расстояния между ними  $R_k$ , при котором  $J(R_k) = 10^{-d} J_0$ , то есть можно считать  $J(R_k + 1) = 0$ . В предложенной модели данное условие будет выполняться, если в соответствии с выражением (2.6)  $\sigma$  брать в виде  $\sigma_k$

$$\sigma_k = - \left( d + \frac{-d \ln 10}{\ln R_k} \right), \quad (2.7)$$

где  $k$  может принимать значения  $2, 3, \dots, 10$ . Таким образом, в модели формулой (2.7) устанавливается соответствие между параметром  $\sigma_k$  и неким выбранным радиусом области взаимодействия спинов  $R_k$ .

Подставляя выражение для  $\sigma_k$ , определяемое уравнением (2.7), в выражение (2.4), получим формулу, которая определяет зависимость температуры фазового перехода  $T_c$

от радиуса области взаимодействия спинов  $R_k$ , т. е.  $T_c(R_k)$ , как для двумерной, так и для трехмерной моделей

$$T_c(R_k) = A + B \exp \left[ -cd \left( \frac{\ln 10}{\ln R_k} - 1 \right) \right], \quad (2.8)$$

где  $A, B, c$  – коэффициенты, которые конкретизируются в соответствии с выражениями (2.2), (2.3) для двумерной или трехмерной моделей.

Зависимость логарифма критической температуры  $\ln T_c$  от радиусов области взаимодействия  $R_k$  в соответствии с уравнением (2.8) представлена точками на рис. 2.6.

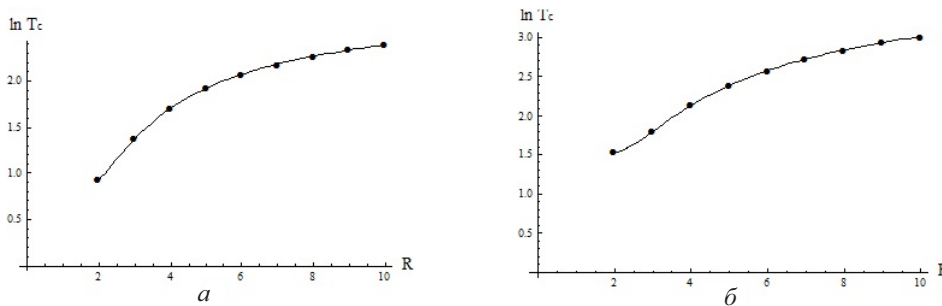


Рис. 2.6. Зависимость логарифма критической температуры от радиуса области взаимодействия для двумерной (а) и трехмерной (б) моделей Изинга

График на рисунке, представленный точками, для наглядности можно аппроксимировать непрерывной линией, уравнение которой определяется выражением, полученным на основании (2.8) с условием, что  $R_k$  заменяется на  $R$ , принимающий непрерывные значения.

$$\ln T_c(R) = \ln \left[ A + B \exp \left[ -cd \left( \frac{\ln 10}{\ln R} - 1 \right) \right] \right]. \quad (2.9)$$

Из графиков, представленных на рис. 2.6, видно, что критическая температура возрастает с увеличением радиуса  $R_k$  области взаимодействия спинов, приближаясь к некоторому предельному значению при больших  $R_k$ .

Заметим, что данные графики качественно совпадают с графиками, полученными ранее в работе [20], где исследовалась модель Изинга с иной формой взаимодействия между спинами.

## Выводы

Проведенные в работе расчеты методом Монте-Карло температур фазового перехода в двумерной и трехмерной моделях Изинга с дальними взаимодействиями показали, что температура возрастает с увеличением радиуса области взаимодействия спинов решетки. В предложенной модели, когда взаимодействие убывает обратно пропорционально расстоянию между спинами в некой степени, показано, что температура существенно зависит от показателя степени и возрастает с его уменьшением. Данные результаты, полученные на конкретной модели Изинга, являются основой для описания фазовых переходов в более сложных моделях.

Численные расчеты были проведены на суперкомпьютере Самарского государственного аэрокосмического университета "Сергей Королев".

## Литература

- [1] Ising E. Beitrag zur Theorie des Ferro- und Paramagnetismus. Hamburg, 1924.
- [2] Onsager L. Crystalstatistics. A two-dimensional model with order-disorder transitions // PhysRev. 1944.
- [3] Yang C.N. The Spontaneous Magnetization of a Two-Dimensional Ising Model // PhysRev. 1952. V. 85. P. 808–816.
- [4] Биндер К., Хеерман Д. В. Моделирование методом Монте-Карло в статистической физике. М.: Наука, 1995. 144 с.
- [5] Бирюков А.А., Дегтярева Я.В., Шлеенков М.А. Компьютерное моделирование модели Изинга во внешнем постоянном магнитном поле // Вестник молодых ученых и специалистов СамГУ. 2012. Т. 1. С. 78–82.
- [6] Муртазаев А.К., Камилов И.К., Бабаев А.Б. Критическое поведение трехмерной модели Изинга с замороженным беспорядком на кубической решетке // ЖТЭФ. 2004. Т. 126. С. 1377–1383.
- [7] Компьютерное моделирование критического поведения трехмерной неупорядоченной модели Изинга / В.В. Прудников [и др.] // ЖЭТФ. 2007. Т. 132. № 2(8). С. 417–425.
- [8] Picco M. Critical behavior of the Ising model with long range interactions // arXiv:1207.1018v1. 2012.
- [9] Blanchard T., Picco M., Rajapour M.A. Influence of long-range interactions on the critical behavior of the Ising model // arXiv:1211.6758v3. 2013.
- [10] Ramirez-Pastor A.J., Nieto F. Ising lattices with  $\pm J$  second-nearest-neighbor interactions // PhysRev. 1997. V. 55(21). P. 14323–14329.
- [11] Three-dimensional Ising model with nearest- and next-nearest-neighbor interactions / A. dos Anjos Rosana [et al.] // PhysRev E. 2007. V. 76(022103).
- [12] Cirillo Emilio N.M., Gonnella G., Pelizzola A. Critical behavior of the three-dimensional Ising model with nearest-neighbor, next-nearest-neighbor, and plaquette interactions // PhysRev E. 1997. V. 55(1). R17–R20.
- [13] Fisher M.E., Ma Sh., Nickel B.G. Critical exponents for long-range interactions // PhysRevLett. 1972. V. 29. № 14. P. 917–920.
- [14] Ferdinand A.E., Fisher M.E. Bounded and inhomogeneous Ising models. I. Specific-heat anomaly of a finite lattice // PhysRev. 1969. V. 185(2). P. 832–846.
- [15] Fisher M.E., Barber M.N. Scaling theory for the finite-size effects in the critical region // PhysRev Lett. 1972. V. 28(23). P. 1516–1519.
- [16] Муртазаев А.К., Камилов И.К., Магомедов М.А. Кластерные алгоритмы метода Монте-Карло, конечно-размерный скейлинг и критические индексы сложных решетчатых моделей // ЖЭТФ. 2001. Т. 120. № 6. С. 1535–1543.
- [17] Loison D. Monte-Carlo cluster algorithm for ferromagnetic Hamiltonians  $H = J \sum (S_i S_j)^3$  // Phys. Lett. A. 1999. V. 257. P. 83–87.
- [18] Камилов И.К., Муртазаев А.К., Алиев Х.А. Исследование фазовых переходов и критических явлений методами Монте-Карло // УФН. 1999. Т. 169. № 7. С. 773–795.
- [19] Binder K. Critical Properties from Monte Carlo Coarse Graining and Renormalization // Phys Rev Lett. 1981. Vol. 47. № 9. P. 693–696.
- [20] Бирюков А.А., Дегтярева Я.В. Модель Изинга с дальним взаимодействием во внешнем магнитном поле // XII Всероссийский молодежный Самарский конкурс-конференция научных работ по оптике и лазерной физике: сборник конкурсных докладов (Самара, 12–15 ноября 2014 г.). М.: Физический институт им. П.Н. Лебедева РАН, 2014. С. 49–54.



## References

- [1] Ising E. Beitrag zur Theorie des Ferro- und Paramagnetismus. Hamburg, 1924 [in German].
- [2] Onsager L. Crystalstatistics. A two-dimensional model with order-disorder transitions. *PhysRev*, 1944 [in English].
- [3] C.N. Yang. The Spontaneous Magnetization of a Two-Dimensional Ising Model. *PhysRev*, 1952, Vol. 85, pp. 808–816 [in English].
- [4] Binder K., Heermann D.W. Monte Carlo simulation in statistical physics. M, Nauka, 1995, 144 p. [in Russian].
- [5] Biryukov A.A., Degtyarova Ya.V., Shleenkov M.A. Computer simulation of the Ising model in the external magnetic field. *Vestnik molodykh uchenykh i spetsialistov SamGU* [Vestnik of young scientists and specialists of SamSU], 2012, Vol. 1, pp. 78–82 [in Russian].
- [6] Murtazaev A.K., Kamilov I.K., Babaev A.B. Critical behavior of the three-dimensional Ising model with the quenched disorder in the cubic lattice. *ZhTEF* [JETP], 2004, Vol. 126, pp. 1377–1383 [in Russian].
- [7] Prudnikov V.V., Prudnikov P.V., Vakilov A.N., Krinitsin A.S. Computer simulation of critical behavior of three-dimensional disordered Ising model. *ZhTEF* [JETP], 2007, Vol. 132, no 2(8), pp. 417–425 [in Russian].
- [8] M. Picco. Critical behavior of the Ising model with long range interactions. *arXiv*: 1207.1018v1. 2012 [in English].
- [9] T. Blanchard, M. Picco, M.A. Rajabpour. Influence of long-range interactions on the critical behavior of the Ising model. *arXiv*: 1211.6758v3. 2013 [in English].
- [10] A.J. Ramirez-Pastor, F. Nieto. Ising lattices with  $\pm J$  second-nearest-neighbor interactions. *PhysRev*, 1997, Vol. 55(21), pp. 14323–14329 [in English].
- [11] Rosana A. dos Anjos, J. Roberto Viana, J. Ricardo de Sousa, J.A. Plascak. Three-dimensional Ising model with nearest- and next-nearest-neighbor interactions. *PhysRev E*, 2007, Vol. 76(022103) [in English].
- [12] Emilio N.M. Cirillo, G. Gonnella, A. Pelizzola. Critical behavior of the three-dimensional Ising model with nearest-neighbor, next-nearest-neighbor, and plaquette interactions. *PhysRev E*, 1997, Vol. 55(1), R17–R20 [in English].
- [13] M.E. Fisher, Sh. Ma, B.G. Nickel. Critical exponents for long-range interactions. *PhysRevLett.*, 1972, Vol. 29, no. 14, pp. 917–920 [in English].
- [14] A.E. Ferdinand, M.E Fisher. Bounded and inhomogeneous Ising models. I. Specific-heat anomaly of a finite lattice. *PhysRev*, 1969, Vol. 185(2), pp. 832–846 [in English].
- [15] M.E. Fisher, M.N. Barder. Scaling theory for the finite-size effects in the critical region. *PhysRev Lett*, 1972, Vol. 28(23), pp. 1516–1519 [in English].
- [16] Murtazaev A.K., Kamilov I.K., Magomedov M.A. Cluster Monte Carlo algorithms, finite-size scaling and critical exponents of the complex lattice models. *ZhTEF*, 2001, Vol. 120, no 6, pp. 1535–1543 [in Russian].
- [17] Loison D. Monte-Carlo cluster algorithm for ferromagnetic Hamiltonians  $H = -J \sum (S_i S_j)^3$ . *Phys. Lett. A*, 1999, Vol. 257, pp. 83–87 [in English].
- [18] Kamilov I.K., Murtazaev A.K., Aliev Kh.A. Monte Carlo studies of phase transitions and critical phenomena. *UFN* [Advances in Physical Sciences], 1999, Vol. 169, no 7, pp. 773–795 [in Russian].
- [19] K. Binder. Critical Properties from Monte Carlo Coarse Graining and Renormalization. *Phys Rev Lett*, 1981, Vol. 47, no. 9, pp. 693–696 [in English].

- [20] Biryukov A.A., Degtyarova Y. V. Ising model with long-range interactions in the external magnetic field. *XII Vserossiiskii molodezhnyi Samarskii konkurs-konferentsiia nauchnykh rabot po optike i lazernoï fizike: sbornik konkursnykh dokladov (Samara, 12–15 noiabria 2014 g.)* [XII All-Russian youth Samara competition-conference of scientific works on optics and laser physics: collection of competitive reports (Samara, 12–15 November, 2014). M., Federal'noe gosudarstvennoe biudzhetnoe uchrezhdenie nauki Fizicheskii institut im. P.N. Lebedeva RAN, pp. 49–54 [in Russian].

A.A. Biryukov, Y.V. Degtyarova<sup>2</sup>

## MONTE-CARLO CALCULATIONS OF PHASE TRANSITION TEMPERATURE IN THE ISING MODEL WITH LONG RANGE INTERACTIONS

The article deals with two-dimensional and three-dimensional Ising models with the long-range spin interactions. The intensity of interaction between the spins relies decreasing with distance  $r$  as a power law  $r^{-d-\sigma}$  with dimensional  $d$  and parameter  $\sigma$ . The research are conducted by Monte-Carlo method with Metropolis algorithm using parallel computing techniques. On the basis of numerical simulation the dependence of the phase transition temperature on the parameter  $\sigma$  is found. It is shown that at phase transition temperature decreases with increasing  $\sigma$ .

**Key words:** Ising model, phase transition, long-range interactions, interaction radius, critical temperature, Monte-Carlo method.

Статья поступила в редакцию 25/V/2015.

The article received 25/V/2015.

---

<sup>2</sup>*Biryukov Alexander Alexandrovich* (biryukov@samsu.ru), Department of General and Theoretical Physics, Samara State University, 1, Acad. Pavlov Street, Samara, 443011, Russian Federation.

*Degtyarova Yana Vladimirovna* (degt-yana@yandex.ru), Department of General and Theoretical Physics, Samara State University, 1, Acad. Pavlov Street, Samara, 443011, Russian Federation.